

Е.С. ГОЛУБЦОВА, д-р техн. наук (БНТУ),  
Н.Б. КАЛЕДИНА (БГТУ),  
Л.С. ШУМАНСКАЯ (БНТУ)

## **ВЛИЯНИЕ СТЕПЕНИ ДЕФОРМАЦИИ И ТЕМПЕРАТУРЫ ПРЕДВАРИТЕЛЬНОГО ОТПУСКА НА МЕХАНИЧЕСКИЕ СВОЙСТВА СТАЛИ КВК26 (26Х2НВМБР)**

Роль различных факторов (повышение плотности дефектов кристаллического строения, взаимодействие дислокаций с атомами углерода, ускорение процессов диффузии и др.) в упрочнении мартенсита после деформации в значительной мере определяется его структурой перед пластической деформацией. В свою очередь, структурные особенности деформированного мартенсита влияют на ход превращений при последующем отпуске. С этой точки зрения для развития представлений о факторах, обуславливающих упрочнение мартенсита при деформировании, и для выбора оптимальных условий осуществления деформации, необходимо изучение влияния на свойства стали предварительного и окончательного отпуска.

Низкотемпературный отпуск мартенсита (при 200 °С) перед деформацией оказывает влияние как на закономерности изменения прочностных и пластических свойств в диапазоне обжатий 5–20 %, так и на абсолютные значения пределов прочности и текучести, относительного удлинения и ударной вязкости.

Таким образом, степень развития деформационного старения во время деформирования зависит не только от степени деформации, но и от проведения предварительного отпуска [1].

С целью оценки влияния температуры предварительного отпуска (при 200 °С и 300 °С) и степени деформации  $\epsilon$  на механические свойства закаленной стали КВК26 следующего химического состава, %: 0,26 С; 1,92 Cr; 0,76 Ni; 0,60 Si; 0,78 Mn; 0,18 Mo; 0,48 W; 0,03 Ti; 0,001 В; 0,008 Р; 0,01 S, был проведен двухфакторный эксперимент по плану 2×3, где 2 – два уровня температуры отпуска до деформации (200 °С и 300 °С), а 3 – три уровня степени деформации  $\epsilon = 10$  и 20 %.

Закалка образцов этой стали проводилась при температуре 950 °С с охлаждением в масле. Деформацию производили плоской прокаткой за три прохода при  $\varepsilon = 10\%$  и пять проходов при  $\varepsilon = 20\%$ . Выдержка при отпуске составляла 4 ч.

Матрица плана и результаты эксперимента приведены в таблице 1, где  $y_1 = \sigma_b$  – предел прочности, МПа;  $y_2 = \sigma_{0,2}$  – предел текучести, МПа;  $y_3 = \delta$ , % – относительное увеличение;  $y_4 = \text{КСУ}$  – ударная вязкость, кДж/м<sup>2</sup>;  $x_1$  и  $x_2$  – кодированные уровни температуры отпуска ( $x_1 = -1, 200\text{ °С}$ ,  $x_1 = +1, 300\text{ °С}$ ) и степени обжатия  $\varepsilon$  ( $x_2 = -1, \varepsilon = 0\%$ ;  $x_2 = 0, \varepsilon = 10\%$  и  $x_2 = +1, \varepsilon = 20\%$ ).

Кодирование уровней факторов производили по формуле:

$$x_i = \frac{\tilde{x}_i - 0,5(\tilde{x}_{i\max} + \tilde{x}_{i\min})}{0,5(\tilde{x}_{i\max} - \tilde{x}_{i\min})}, \quad (1)$$

где  $\tilde{x}_{i\max}$  и  $\tilde{x}_{i\min}$  – натуральные значения верхнего и нижнего уровней  $i$ -го фактора.

Таблица 1 – Матрица планирования и результаты эксперимента

	$x_1$	$x_2$	$x_1x_2$	$x_2^2$	$y_1 = \sigma_b$	$y_2 = \sigma_{0,2}$	$y_3 = \delta$	$y_4 = \text{КСУ}$	$y_5 = D^*$
1	–	–	+	+	1547	1360	12,65	680	0,745
2	–	0	0	0	1708	1534	6,15	387	0,663
3	–	+	–	+	1880	1627	5,62	387	0,709
4	+	–	–	+	1480	1280	8,94	700	0,634
5	+	0	0	0	1640	1453	6,68	425	0,674
6	+	+	+	+	1747	1574	5,88	375	0,662
$\Sigma_1$	–268	600	–66	6654	10002	–	–	–	
$\Sigma_2$	–214	561	27	5841	–	8828	–	–	
$\Sigma_3$	–2,92	–10,1	3,97	33,1	–	–	45,92	–	
$\Sigma_4$	46	–618	–32	2142	–	–	–	2854	

\*  $D$  – обобщенный параметр оптимизации

Ошибки опытов соответственно составили:

$S_{y_1} = 83,35$  (5 % от среднего значения  $\bar{y}_1 = \sigma_b = 1667$  МПа);  $S_{y_2} = 73,6$  (5 % от  $\bar{y}_2 = \sigma_{0,2} = 1471$  МПа);  $S_{y_3} = 0,383\%$  (5 % от среднего

$\bar{y}_3 = \delta = 7,65 \%$  ) и  $S_{y_4} = 25$  (5 % от скорости значения  $\bar{y}_4 = \text{КСУ} = 492 \text{ кДж/м}^2$ ).

Опыты проводили в случайном порядке.

Статистическую обработку результатов эксперимента проводили по методике работы [2].

Коэффициенты предполагаемого уравнения регрессии вида  $y_i = \epsilon_0 + \epsilon_1 x_1 + \epsilon_2 x_2 + \epsilon_{12} x_1 x_2 + \epsilon_{11} x_1^2 + \epsilon_{22} x_2^2$  определяли по формулам:

$$\epsilon_0 = A_0(OY) - A_{01}(11Y) - A_{02}(22Y); \quad (2)$$

$$\epsilon_1 = A_1(1Y) \cdot \epsilon_2 = A_2(2Y) \cdot \epsilon_{12} = A_{12}(12Y); \quad (3)$$

$$\epsilon_{11} = A_{11}(11Y) - A_{01}(OY) \cdot \epsilon_{22} = A_{22}(22Y) - A_{02}(OY), \quad (4)$$

где коэффициенты  $A_0; A_{01}; A_{02}; A_1; A_2; A_{12}; A_{11}$  и  $A_{22}$  берутся из [2, таблица 2.20]. Для плана  $2 \times 3$ :  $A_0 = 0,5$ ;  $A_{01} = 0$ ;  $A_{02} = 5$ ;  $A_1 = 0,16667$ ;  $A_2 = A_{12} = 0,25$ ;  $A_{11} = 0$ ;  $A_{22} = 0,75$ .

Выражения в скобках  $(0Y); \dots (22Y)$  – это алгебраические суммы произведений столбца  $y_i$  на соответствующие кодированные уровни столбцов  $x_1; x_2; x_1 x_2$  и  $x_1^2$  (приведены в нижних строках матрицы  $\Sigma_1; \Sigma_2; \Sigma_3; \Sigma_4$ ).

В результате получили следующие значения коэффициентов уравнения регрессии.

Для  $y_1 = \sigma_v$ :  $\epsilon_0 = 1674$ ;  $\epsilon_1 = 49,7$ ;  $\epsilon_2 = 150$ ;  $\epsilon_{12} = -16,5$ ;  $\epsilon_{22} = -10,5$ .

Для  $y_2 = \sigma_{0,2}$ :  $\epsilon_0 = 1494$ ;  $\epsilon_1 = -36$ ;  $\epsilon_2 = 140$ ;  $\epsilon_{12} = 7$ ;  $\epsilon_{22} = -33$ .

Для  $y_3 = \delta$ :  $\epsilon_0 = 6,4$ ;  $\epsilon_1 = -0,49$ ;  $\epsilon_2 = -2,52$ ;  $\epsilon_{12} = 1$ ;  $\epsilon_{22} = -1,98$ .

Для  $y_4 = \text{КСУ}$ :  $\epsilon_0 = 406$ ;  $\epsilon_1 = 7,67$ ;  $\epsilon_2 = -155$ ;  $\epsilon_{12} = -8$ ;  $\epsilon_{22} = 130$ .

Значимость этих коэффициентов определяли путем сравнения их абсолютных значений с их доверительными интервалами, которые рассчитывали по формуле:

$$\Delta \epsilon_i = \sqrt{A_i} \cdot S_y \cdot t, \quad (5)$$

где  $S_y$  – средняя квадратичная ошибка,  $t$  – критерий Стьюдента.

Критерий  $t$  берем из таблиц [3]. В нашем случае он равен 2,015 (при  $\alpha = 0,1$ ,  $n = 6$ ).

Получили: для  $y_1 = \sigma_B$ ;  $\Delta\epsilon_1 = 68,5 > 49,7$ ;  $\Delta\epsilon_2 = \Delta\epsilon_{12} = 84$ ;  
 $\Delta\epsilon_{22} = 145,5$ , т.е. коэффициенты  $\epsilon_1$ ,  $\epsilon_{12}$  и  $\epsilon_{22}$  незначимы. Тогда:

$$y_1 = \sigma_B = 1674 + 150x_2. \quad (6)$$

Для  $y_2 = \sigma_{0,2}$ ;  $\Delta\epsilon_1 = 60,5 > 36$ ;  $\Delta\epsilon_2 = \Delta\epsilon_{12} = 74,1$ ;  $\Delta\epsilon_{22} = 128,4 > 33$ .

Здесь

$$y_2 = \sigma_{0,2} = 1494 + 140x_2. \quad (7)$$

Для  $y_3 = \delta$ ;  $\Delta\epsilon_1 = 0,315 < 0,487$ ;  $\Delta\epsilon_2 = \Delta\epsilon_{12} = 0,386 < 0,52 < 1$ :

$\Delta\epsilon_{22} = 0,669 < 1,9$ , т.е. в этом случае все коэффициенты значимы ( $\Delta\epsilon_i < \epsilon_i$ ). Тогда

$$y_3 = \delta, \% = 6,4 - 0,487x_1 - 2,52x_2 + x_1x_2 + 1,9x_2^2. \quad (8)$$

Для  $y_4 = KCU$ ;  $\Delta\epsilon_1 = 20,6 > 7,67$ ;  $\Delta\epsilon_2 = \Delta\epsilon_{12} = 25,2$ ;  
 $\Delta\epsilon_{22} = 43,6 < 27,4$ , т.е. коэффициенты  $\epsilon_1$ ,  $\epsilon_{12}$  и  $\epsilon_{22}$  незначимы. Следовательно:

$$y_4 = KCU = 406 - 155x_2 + 130x_2^2. \quad (9)$$

Проверка адекватности уравнений (6)–(9) подтвердили эту гипотезу, поскольку критерии Фишера  $F = \frac{S_{ад}^2}{S_y^2}$  ( $S_{ад}^2$  – дисперсия адекватности равна  $\sum_1^s \Delta y_i^2 / N - m$ , где  $m$  – число значимых коэффициентов (включая  $\epsilon_0$ ) оказалось меньше табличного (критического) значения (при  $\alpha = 0,01$ ,  $f = N - m$  и  $f_2 = N - 1$ ) и равно 16,3.

Действительно, для  $y_1 = \sigma_{\text{в}}$   $F_1 = \frac{S_{\text{ад}}^2}{S_4^2} = \frac{3460,5}{83,35^2} = 0,5 < 1$ ; для  $y_2 = \sigma_{0,2}$   $S_{\text{ад}}^2 = 3123$   $F_2 = \frac{3123}{73,6^2} = 0,576 < 1$ ; для  $y_4 = \text{КСУ}$   $S_{\text{ад}}^2 = \frac{996}{6-3} = 332$ ;  $F_4 = \frac{332}{25^2} = 0,531 < 1$ .

Следовательно, уравнения (6), (7) и (9) адекватны при всех уровнях доверия  $\alpha$ , т.к.  $F < 1$ .

Уравнение (8) адекватно при  $\alpha = 0,01$ .

Таким образом, повышение температуры отпуска перед деформацией (с 200 °С до 300 °С;  $x_1 = -1$ ;  $x_1 = +1$ ) не оказывает существенного влияния на пределы прочности, текучести и ударную вязкость ( $\sigma_{\text{в}}$ ,  $\sigma_{0,2}$  и КСУ). Здесь решающую роль играет величина пластической деформации  $\epsilon$ : чем она выше, тем больше значения  $\sigma_{\text{в}}$ ,  $\sigma_{0,2}$ . Влияние степени деформации ( $x_2$ ) на ударную вязкость ( $y_4 = \text{КСУ}$ ) существенно, но не столь велико как для  $\sigma_{\text{в}}$ ,  $\sigma_{0,2}$ . Относительно низкие значения КСУ после отпуска при 300 °С ( $x_1 = +1$ ) можно объяснить развитием в этой стали явления необратимой отпускной хрупкости [4]. Деформация как бы нивелирует разницу в абсолютных значениях ударной вязкости после отпуска при 200 и 300 °С, что видно из таблицы 1 и уравнения (9).

Оба фактора (температура отпуска для деформации и степень пластической деформации) оказывают существенное влияние на величину относительного удлинения  $\delta$ , но и в этом случае влияние второго фактора ( $\epsilon$ ,  $x_2$ ) более весомо, чем влияние температуры отпуска ( $x_1$ ). При предварительном отпуске 300 °С понижение относительного удлинения  $\delta$ , вызываемое деформацией, происходит менее резко, нежели при отпуске 200 °С ( $x_1 = -1$ ). Сравнительно низкие значения  $\delta$  после отпуска при 300 °С ( $x_1 = +1$ ) можно также объяснить развитием необратимой отпускной хрупкости. Можно полагать, что в процессе деформации в связи с появлением новых дефектов кристаллической решетки и их взаимодействием с углеродом происходит растворение части карбидов, и отрицательное влияние их неблагоприятного распределения в матрице в какой-то мере снижается.

Ввиду несколько противоречивого влияния температуры предварительного отпуска и степени пластической деформации на прочностные и пластические свойства закаленной стали КВК26, есть смысл использовать для выбора оптимальных условий обработки этой стали обобщенный параметр оптимизации [5]  $D = \sqrt[4]{d_1 \cdot d_2 \cdot d_3 \cdot d_4}$ , где  $d_1, d_2, d_3, d_4$  – частные функции желательности для предела прочности ( $y_1 = \sigma_B$ ), предела текучести ( $y_2 = \sigma_{0,2}$ ); относительного удлинения ( $y_3 = \delta$ ) и ударной вязкости ( $y_4 = KCU$ ).

Составим таблицу 2 частных функций желательности для этих характеристик.

Таблица 2 – Частные функции желательности  $d_i$  для  $\sigma_B, \sigma_{0,2}, \delta$  и КСУ

Частная функция желательности, $d_i$	Кодированное значение показателя, $y'_i$	Предел прочности $y_1 = \sigma_B$ , МПа	Предел текучести $y_2 = \sigma_{0,2}$ , МПа	Относительное удлинение $y_3 = \delta$ , %	Ударная вязкость $y_4 = KCU$ , кДж/м <sup>2</sup>
1,00–0,80 (очень хорошо)	3,000	1850	1750	10	650
0,80–0,63 (хорошо)	1,500	1700	1600	8	550
0,63–0,37 (удовлетворит.)	0,850	1550	1450	6	450
0,37–0,20 (плохо)	0,000	1400	1300	4	350
0,20–0,00 (очень плохо)	–0,500	1250	1150	2	250

Частные функции желательности  $d_i$  рассчитываем по формуле:

$$d_i = e^{-e^{-y'_i}} = \exp[-\exp(-y'_i)], \quad (10)$$

где  $y'_i$  – кодированные уровни параметров  $y_i$ .

Для нахождения кодированных уровней характеристик механических свойств  $y'_i$  воспользуемся графиком функции желательности, который построен с использованием данных таблицы 2.

Для кодирования частных характеристик механических свойств на оси абсцисс (оси  $y'$ ) рисунка возьмем три равномерных интервала:  $-3$ ;  $-2$ ;  $-1$ ;  $0$ ;  $+1$ ;  $+2$ ;  $+3$ . С помощью формулы (10) найдем для каждого параметра частную функцию желательности  $d_i$ , подставляя в эту формулу кодированные значения  $y'_i$ , т.е.  $0$ ;  $+1$ ;  $+2$ ;  $+3$ . По этим значениям  $d_i$  построим кривую функции желательности, приведенную на рисунке 1.

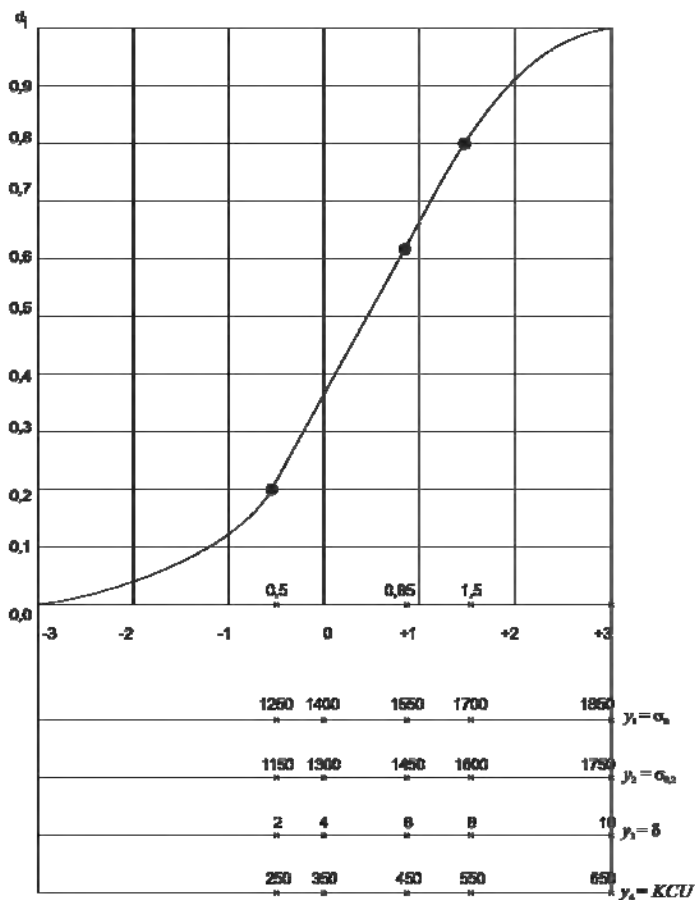


Рисунок 1 – График функции желательности

Проведя параллельно оси абсцисс ( $y'_i$ ) четыре прямые, отложим на них натуральные значения частных параметров оптимизации ( $\sigma_b$ ,  $\sigma_{0,2}$ ,  $\delta$  и КСУ), соответствующие кодированным значениям таблицы 2.

В результате проведенных расчетов были получены для данных таблицы 1 следующие значения  $d_i$  и обобщенного параметра  $D$ , которые приведены в таблице 3.

Таблица 3 – Натуральные значения величин  $d_i$ ,  $\sigma_b$ ,  $\sigma_{0,2}$ ,  $\delta$ , КСУ и их функции желательности

N	$y_1 = \sigma_b$	$y_2 = \sigma_{0,2}$	$y_3 = \delta$	$y_4 = \text{КСУ}$	$d_1$	$d_2$	$d_3$	$d_4$	$D$
1	1547	1360	12,65	680	0,630	0,490	1,000	1,000	0,745
2	1708	1534	6,15	387	0,813	0,742	0,666	0,481	0,663
3	1880	1627	5,62	387	1,000	0,842	0,624	0,481	0,709
4	1480	1280	8,94	700	0,530	0,340	0,895	1,000	0,634
5	1640	1453	6,68	425	0,750	0,657	0,711	0,590	0,674
6	1747	1574	5,88	375	0,870	0,780	0,638	0,449	0,662

Как видно из этой таблицы наибольшее значение  $D = 0,745$  будет при  $x_1 = -1$  (температура отпуска 200 °С) и  $x_2 = -1$  ( $\varepsilon \cong 0$  %).

Внесем значения  $D$  в таблицу 1 и, пользуясь данными этой таблицы и формулами (2)–(4), рассчитаем коэффициенты уравнения регрессии для  $y_5 = D$ .

Здесь  $(0Y) = 4,087$ ;  $(1Y) = -0,147$ ;  $(2Y) = -0,008$ ;  $(12Y) = 0,064$  и  $(22Y) = 2,75$ .

В результате получили:  $\sigma_0 = 0,669 \cong 0,67$ ;  $\sigma_1 = -0,026$ ;  $\sigma_2 = -0,002$ ;  $\sigma_{12} = 0,016$ ;  $\sigma_{22} = 0,019$ . Доверительные интервалы  $\Delta\sigma_i$  для этих коэффициентов при ошибке опытов  $S_5 = 0,034$  (5 % от среднего  $\bar{y}_5 = D = 0,681$ ) будут соответственно равны:  $\Delta\sigma_1 = 0,028 > 0,025$ ;  $\Delta\sigma_2 = \Delta\sigma_{12} = 0,034 > 0,016 > 0,008$ ;  $\Delta\sigma_{22} = 0,059 > 0,019$ .

Следовательно, коэффициенты  $\sigma_1$ ,  $\sigma_2$ ;  $\sigma_{12}$  и  $\sigma_{22}$  незначимы и уравнение регрессии будет таким:

$$y_5 = D = 0,67. \quad (11)$$



Таким образом, на обобщенный параметр оптимизации  $D$  оба фактора (температура отпуска и степень деформации) не оказывают существенного влияния, поскольку полученные значения  $D$  в строках не отличаются от  $D = 0,67$  при ошибке эксперимента  $S_5 = 0,034$ .

Адекватность уравнения (11) подтверждается величинами дисперсии адекватности ( $S_{ад}^2 = 0,0017142$ ) и критерия Фишера  $F$ , равно-  
го  $F = \frac{0,0017142}{0,039^2} = 1,483 < F_{кр} = 5,1$  при  $\alpha = 0,05; f_1 = 5$  и  $f_2 = 5$ .

Анализ полученных результатов таблицы 1 и уравнений (6)–(9) показывает, что между исследованными характеристиками механических свойств стали КВК26 существует корреляционная связь. Действительно, после расчета величины коэффициента парной корреляции по формуле [5]

$$r_{ij} = \frac{\sum_1^n (y_i - \bar{y}_i)(y_j - \bar{y}_j)}{\sqrt{\sum_1^n (y_i - \bar{y}_i)^2 (y_j - \bar{y}_j)^2}} \quad (12)$$

получили следующие значения этих коэффициентов:  $r_{1,2} = 0,98$ ;  $r_{1,3} = -0,627$ ;  $r_{1,4} = -0,862$ ;  $r_{2,3} = -0,762$ ;  $r_{2,4} = -0,989$ ;  $r_{3,4} = 0,945$ .

В формуле (12)  $y_i$  и  $y_j$  –  $i$ -я и  $j$ -я характеристики;  $\bar{y}_i$  и  $\bar{y}_j$  – их средние значения;  $n$  – число опытов ( $n$  нас  $n = 6$ ).

Напомним, что  $y_1 = \sigma_b$ , МПа;  $y_2 = \sigma_{0,2}$ , МПа;  $y_3 = \delta$ , %;  $y_4 = KCU$ , кДж/м<sup>2</sup>. Табличное (критическое) значение коэффициента парной корреляции  $\tau_{кр} = 0,621$  при  $\alpha = 0,1$  и  $n = 6$ , т.е. все вычисленные коэффициенты парной корреляции больше  $r_{кр}$ , что подтверждает вывод о тесной корреляционной связи между  $\sigma_b$ ,  $\sigma_{0,2}$ ,  $\delta$  и  $KCU$  в виде уравнений типа  $y_j = e_0 + e_1 y_i$ .

Расчет коэффициентов корреляционного уравнения произведем по формулам:

$$\epsilon_1 = \frac{\sum_1^n (y_i - \bar{y}_i)(y_j - \bar{y}_j)}{\sum_1^n (y_i - \bar{y}_i)^2}; \quad (13)$$

$$\epsilon_0 = \bar{y}_j - \epsilon_1 \bar{y}_i. \quad (14)$$

Таким образом, связь между характеристиками механических свойств можно представить в виде следующих уравнений:

$$y_2 = \sigma_{0,2} = 0,904\sigma_B - 35,4; \quad (15)$$

$$y_3 = \delta = 27,43 - 0,012\sigma_B; \quad (16)$$

$$y_4 = \text{KCU} = 2032 - 0,924\sigma_B; \quad (17)$$

$$y_3 = \delta = 30,6 - 0,0156\sigma_{0,2}; \quad (18)$$

$$y_4 = \text{KCU} = 2070 - 1,0726\sigma_{0,2}; \quad (19)$$

$$y_4 = \text{KCU} = 110,41 + 50\delta. \quad (20)$$

В связи с этим вместо четырех параметров ( $\sigma_B$ ,  $\sigma_{0,2}$ ,  $\delta$  и КСУ) можно выбрать один (параметр  $\sigma_B$ ), а значения других можно рассчитать с помощью этих корреляционных уравнений (15)–(17).

Определив подобным образом коэффициенты парной корреляции между  $\sigma_B$  и остальными характеристиками, можно полученные результаты расчетов  $r_{ij}$  свести в таблицу 4.

Таблица 4 – Значения коэффициентов парной корреляции  $r_{1,2}$ ;  $r_{1,3}$ ;  $r_{1,4}$ ;  $r_{2,3}$ ;  $r_{2,4}$ ;  $r_{3,4}$

$y_i \backslash y_j$	$y_1 = \sigma_B$	$y_2 = \sigma_{0,2}$	$y_3 = \delta$	$y_4 = \text{КСУ}$	Корреляционные уравнения
1 $\sigma_B$	–	0,98	–0,627	–0,862	$\sigma_{0,2} = 0,904\sigma_B - 35,4$
2 $\sigma_{0,2}$	0,98	–	–0,762	–0,989	$\delta = 27,43 - 0,012\sigma_B$
3 $\delta$	–0,627	–0,762	–	0,945	$\text{КСУ} = 2032 - 0,924\sigma_B$
4 КСУ	–0,862	–0,989	0,945	–	$\delta = 30,6 - 0,0156\sigma_{0,2}$

Таким образом, если мы хотим получить высокое значение предела прочности, например,  $\sigma_b = 1900$  МПа, то мы должны знать, что предел текучести  $\sigma_{0,2}$  в этом случае будет равен 1682 МПа, относительное удлинение  $\delta = 4,63$  %, а ударная вязкость  $KCU = 276$  кДж/м<sup>2</sup>, т.е. сталь КВК26 будет обладать низкими пластическими свойствами.

Полученные результаты эксперимента, регрессионные и корреляционные уравнения позволяют сделать вывод, что степень развития деформационного старения во время деформирования предварительно отпущенного мартенсита мало зависит от проведения предварительного отпуска ( $x_1$ ). Повышение температуры отпуска до 300 °С ( $x_1 = +1$ ) практически не влияет на прочностные свойства и оказывает незначительное влияние лишь на относительное удлинение  $\delta$ , снижая его величину по сравнению с отпуском при 200 °С. Относительно низкие значения  $\delta$  и КСУ непосредственно после отпуска при 300 °С объясняются, как указывалось выше, развитием в стали необратимой отпускной хрупкости.

## Литература

**1. Шамиев, С.Ш.** Влияние отпуска на механические свойства и тонкую структуру закаленных и деформированных сталей / С.Ш. Шамиев // *Металловедение и термическая обработка металлов.* – 1966. – № 4. – С. 15–18.

**2. Вознесенский, В.А.** Статистические методы планирования эксперимента в технико-экономических исследованиях / В.А. Вознесенский. – М.: Статистика, 1974. – 192 с.

**3. Большев, Л.Н.** Таблицы математической статистики / Л.Н. Большев, Н.В. Смирнов. – М.: Наука, 1965. – 152 с.

**4. О влиянии** пластической деформации на состояние твердого раствора углерода в мартенсите закаленной стали / В.П. Вылежнев [и др.] // *Физика металлов и металловедение.* – 1967. – Т. 24. – № 1. – С. 186–188.

**5. Голубцова, Е.С.** Основы научных исследований в порошковой металлургии и сварке / Е.С. Голубцова, Б.А. Каледин, Н.Б. Каледина. – Минск: БНТУ, 2008. – 240 с.